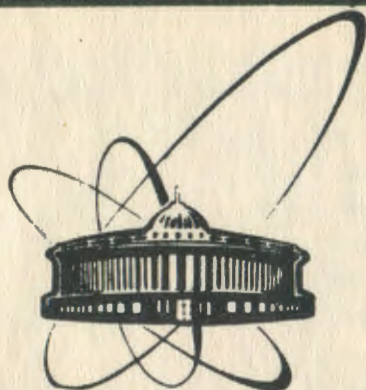


90-424



ОБЪЕДИНЕННЫЙ
ИНСТИТУТ
ЯДЕРНЫХ
ИССЛЕДОВАНИЙ
ДУБНА

P1-90-424

А.Д.Волков, А.В.Восканян *, О.Г.Воскерчян*,
Б.Ж.Залиханов, Г.Калмар, А.Ж.Кетикян*,
Е.В.Комиссаров, В.С.Курбатов, В.З.Сердюк,
В.В.Сидоркин

МЕТОД ВЫЧИСЛЕНИЯ ИМПУЛЬСА
ЗАРЯЖЕННОЙ ЧАСТИЦЫ
В МАГНИТНЫХ СПЕКТРОМЕТРАХ

Направлено в журнал "Nuclear Instruments
and Methods"

*Ереванский физический институт

1990

1. Введение

В экспериментах с фиксированной мишенью часто приходится решать задачу восстановления импульса заряженной частицы в геометрии, показанной на рис. 1. Заряженные частицы движутся под малыми углами к оси z . TD1, TD2-трековые детекторы соответственно до и после магнита (дрейфовые или пропорциональные камеры). Предполагается, что они расположены достаточно далеко от магнита так, что поле в месте их расположения равно нулю. Для определённости предположим, что "главная" компонента магнитного поля (компонента, для которой $\int_B(x, y, z) dz = \max$, где $s=x$, или y , или z) B_x . Тогда задача может быть сформулирована так: зная направление частицы до и после магнита, найти импульс частицы наиболее точным и экономным способом.

Конечно, самый точный, но и самый дорогой способ - это решать уравнение движения численно [1]. Однако при массовой обработке экспериментальных данных, когда количество треков достигает сотен тысяч и миллионов, этот метод неприемлем из-за большого компьютерного времени и памяти.

В 1969 г. был предложен гораздо более быстрый и экономный метод [2], в котором импульс частицы представляется в виде разложения в ряд по полиномам Чебышева. Этот метод даёт выигрыш в несколько порядков в компьютерном времени и памяти по сравнению с прямым методом решения уравнения движения.

Напомним основные черты этого метода. На первом шаге генерируется большое число треков, соответствующих узлам решётки в пространстве пяти переменных: x_0, y_0, x'_0, y'_0 и $(P)^{-1}$, где x_0, y_0 - x - и y -координаты трека при некотором $z = z_0$, x'_0, y'_0 - их производные по z при том же самом z , а P - импульс частицы. Для каждого узла рассчитывается "главный" угол отклонения (соответствующий отклонению в плоскости, перпендикулярной "главной" компоненте магнитного поля) - переменная x_Δ . Затем для всех узлов с постоянными x_0, y_0, x'_0, y'_0 проводится обратная интерполяция так, чтобы получить переменную $(P)^{-1}$ как функцию переменной x_Δ .

На втором шаге находятся коэффициенты разложения в ряд по полиномам Чебышева, что в конечном счёте даёт $(P)^{-1}$ как функцию переменных x_0, y_0, x'_0, y'_0 и угла отклонения x_Δ .

Сейчас этот метод широко используется (см. работы [3,4]).

Сделаем несколько замечаний по поводу этого метода. Во-первых, число коэффициентов, подлежащих определению, очень велико (обычно от нескольких сотен до нескольких тысяч [2-4]).

Во-вторых, при использовании этого метода имеются чисто технические трудности: поскольку используются узлы решётки, построенной определённым образом, приходится либо уменьшать размер гиперкуба в пятимерном пространстве так, чтобы не выйти за пределы измеренного магнитного поля, либо делать некорректные допущения.

Кроме того, метод содержит некоторые излишества: можно обойтись без обратной интерполяции, т.е. достаточно представить переменную x_6 как функцию от x_0, y_0, x'_0, y'_0 и $(P)^{-1}$ и в таком виде использовать её для оценки импульса.

В этой работе мы предлагаем другой, более экономный по сравнению с работой [2] метод. В сравнении с ним он даёт выигрыш в числе коэффициентов, подлежащих определению, — один — два порядка, в числе машинных операций — приблизительно два порядка. Другое немаловажное обстоятельство — его гораздо проще использовать. Метод тестировался на двух магнитных спектрометрах. Результаты приведены ниже.

2. Метод

Основная идея метода: мы предлагаем искать оценку импульса, используя соотношение

$$\theta_{yz} = \lambda \cdot f(x_0, y_0, x'_0, y'_0, \lambda), \quad (1)$$

где θ_{yz} — угол отклонения частицы в плоскости, перпендикулярной "главной" компоненте магнитного поля, $\lambda = (P)^{-1}$, а f — непрерывно дифференцируемая функция переменных в скобках. Последнее обстоятельство означает, что её можно разлагать в ряд Тейлора. Каковы основания для этого?

Во-первых, формула (1) имеет правильное поведение при $\lambda \rightarrow 0$, т.е. она автоматически удовлетворяет условию $\theta_{yz} \rightarrow 0$ при $P \rightarrow \infty$.

Во-вторых, рассмотрим уравнение движения частицы в магнитном поле:

$$x'' = \frac{e/P \sqrt{1+(x')^2+(y')^2}}{\dots} (x'y'B_x - [1+(x')^2]B_y + y'B_z) = \lambda \cdot f_x(x_0, y_0, x'_0, y'_0),$$

$$y'' = \frac{e/P \sqrt{1+(x')^2+(y')^2}}{\dots} ([1+(y')^2]B_x - x'y'B_y - x'B_z) = \lambda \cdot f_y(x_0, y_0, x'_0, y'_0),$$
(2)

e — заряд частицы,
 P — импульс частицы,
 B_x, B_y, B_z — компоненты магнитного поля,

$$x'' = d^2x/dz^2; \quad y'' = d^2y/dz^2; \quad x' = dx/dz; \quad y' = dy/dz.$$

Все обозначения соответствуют рис.1. Пусть "главной" компонентой магнитного поля будет B_x , тогда для оценки импульса лучше использовать угол отклонения проекции траектории на плоскость yz (или, например, разность $y'_f - y'_i$, где y'_f — тангенс угла наклона проекции траектории на плоскость yz за магнитом, y'_i — до магнита).

Пусть y'_f соответствует $z = z_f$, а $y'_i - z = z_i$. Разделим траекторию частицы в интервале между z_i и z_f на большое число N отрезков размером Δz . Тогда

$$y'_f = y'_i + \sum_{k=1}^N (\delta y'_k),$$

где $\delta y'_k$ — изменение первой производной y' на отрезке от z_k до z_{k+1} . Мы можем написать (учитывая уравнения (2)) :

$$\delta y'_k = \lambda \cdot f_y(x_{k-1}, y_{k-1}, x'_{k-1}, y'_{k-1}) \cdot \Delta z.$$

Т.е. $\delta y'_1 = \lambda \cdot f_y(x_0, y_0, x'_0, y'_0) \cdot \Delta z,$

$$\delta y'_2 = \lambda \cdot f_y(x_1, y_1, x'_1, y'_1) \cdot \Delta z,$$

где

$$x_1 = x_0 + \delta x_1 = x_0 + x'_0 \cdot \Delta z,$$

$$y_1 = y_0 + \delta y_1 = y_0 + y'_0 \cdot \Delta z,$$

$$x'_1 = x'_0 + \delta x'_1 = x'_0 + \lambda \cdot f_x(x_0, y_0, x'_0, y'_0) \cdot \Delta z,$$

$$y'_1 = y'_0 + \delta y'_1 = y'_0 + \lambda \cdot f_y(x_0, y_0, x'_0, y'_0) \cdot \Delta z.$$

Для $\delta y'_2$ имеем

$$\delta y'_2 = \lambda \cdot f_y(x_1, y_1, x'_1, y'_1) \cdot \Delta z =$$

$$= \lambda \cdot f_y(x_0 + x'_0 \cdot \Delta z, y_0 + y'_0 \cdot \Delta z, x'_0 + \lambda \cdot f_x(x_0, y_0, x'_0, y'_0) \cdot \Delta z,$$

$$y'_0 + \lambda \cdot f_y(x_0, y_0, x'_0, y'_0) \cdot \Delta z) \cdot \Delta z.$$

Разлагая f_y в ряд по Δz и оставляя только линейные члены, получим

$$\delta y_2^1 = \lambda^2 \cdot I_2(x_0, y_0, x_0^1, y_0^1) + \lambda \cdot I_1(x_0, y_0, x_0^1, y_0^1),$$

где I_2, I_1 — некоторые функции переменных в скобках.

Для любого δy_k^1 можно написать

$$\delta y_k^1 = \sum_{i=1}^k \lambda^i \cdot I_i(x_0, y_0, x_0^1, y_0^1).$$

Суммируя все δy_k^1 , получим

$$y_f^1 - y_i^1 = \sum_{k=1}^N \lambda^k \cdot G_k(x_0, y_0, x_0^1, y_0^1). \quad (3)$$

В пределе $N \rightarrow \infty$ мы приходим к выражению

$$y_f^1 - y_i^1 = \sum_{k=1}^{\infty} \lambda^k \cdot G_k(x_0, y_0, x_0^1, y_0^1) = \lambda \cdot f(x_0, y_0, x_0^1, y_0^1, \lambda). \quad (4)$$

Это соответствует утверждению, сделанному выше.

Как на практике находить функцию f в формуле (4)? Делать это можно по-разному. Например, можно использовать тот же метод аппроксимации полиномами Чебышева, но при этом возникают те технические проблемы, о которых мы говорили ранее. Число коэффициентов также будет велико.

Мы использовали более простой подход: использовали для функции f в формуле (4) разложение в ряд Тейлора по пяти переменным: $x_0, y_0, x_0^1, y_0^1, \lambda$. Количество удерживаемых членов и сами члены определяются эмпирически, судя по тому, как они влияют на точность оценки импульса. Детали такого подхода проиллюстрированы на примерах, приведенных в следующем разделе.

3. Приложения

Метод был опробован на двух спектрометрах. Основной компонентой магнитного спектрометра установки ИСТРА-М, созданной на базе установки ИСТРА^[5], является магнит, конструкция которого описана в работе^[6]. На рис 2а показана геометрия расположения различных элементов установки. Установку предполагается использовать для измерения реакции $K^- \rightarrow \pi^+ l^+ l^-$, где $l = e$ или μ . Лучковый K^- -мезон распадается

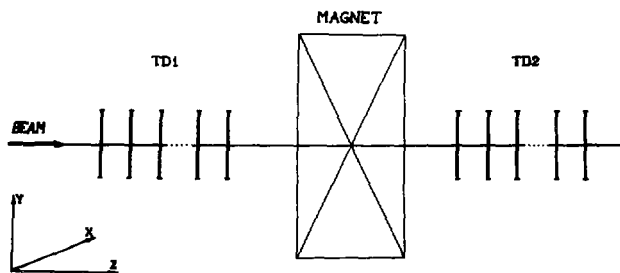


Рис.1. Структура типичного магнитного спектрометра. TD1 – трековый детектор до магнита, TD2 – трековый детектор после магнита.

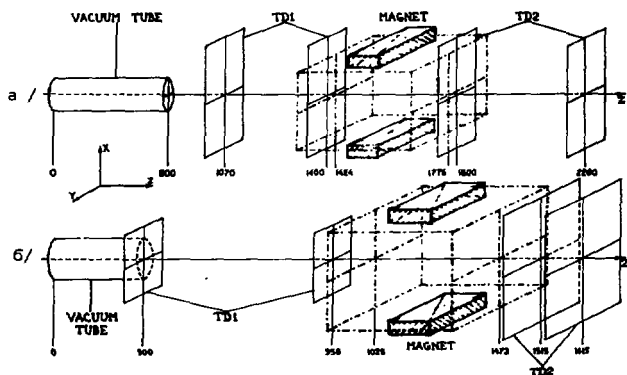


Рис.2. Схема расположения детекторов:

2а – установки ИСТРА-М,

2б – установки "Гиперон".

Цифры под различными элементами установки показывают их положение по пучку в см, штрихпунктирной линией показан объём измеренного магнитного поля.

в вакуумной трубе, траектория частицы до магнита измеряется системой дрейфовых камер TD1. Далее располагается магнит, а за ним - система плоскостей дрейфовых трубок TD2 для измерения траектории после магнита. Поле измерено в объеме размером $56 \cdot 80 \cdot 352$ см - на рисунке этот объем показан штрихпунктирной линией. Интеграл поля, т.е. величина $\int B_x dz$ при $x = 0$, $y = 0$ (такой выбор координат x , y соответствует тому, что ось z проходит через центр поля), равна 1.06 Тл·м. Система координат - правая, ось z направлена по пучку. Цифры на рисунке под каждым элементом установки показывают их положение вдоль оси z в см. Предполагается, что импульс первичного K^- -мезона равен 25 ГэВ/с.

Для нахождения зависимости между углом поворота ϕ_{y2} и λ был сгенерирован файл событий указанной реакции по фазовому объему с учетом всех деталей установки. Распадная точка разыгрывалась равномерно вдоль длины трубы. Траектории продуктов распада рассчитывались по методу Рунге-Кутты, описанному в работе [1]. Траектории рассчитывались как для положительно, так и для отрицательно заряженных продуктов, при этом величина λ была знакопеременной - положительной для положительных частиц, отрицательной для отрицательных. При расчете траектории требовалось, чтобы частица проходила через детекторы TD1, TD2 и не выходила за боковые границы объема измеренного магнитного поля. Диапазон изменения импульса вторичных частиц $2.5-18$ ГэВ/с.

Для функции f отыскивалось разложение в ряд Тейлора, в котором нечетные степени λ брались по модулю. Для нахождения коэффициентов разложения использовалось 4000 треков, из них 2000 положительно заряженных и 2000 отрицательно заряженных. Фитирование проводилось программой FUMILI [7].

Для определения точности и оптимизации найденной аппроксимации использовалось 2000 независимо сгенерированных треков, половина которых - положительно заряженные, половина - отрицательно заряженные. Для каждого из 2000 событий рассчитывалась величина $\delta P/P$, рассчитывались средние по всем 2000 величины $\langle \delta P/P \rangle$ и величина

$$\sigma = \sqrt{\langle (\delta P/P)^2 \rangle - \langle \delta P/P \rangle^2}.$$

В итоге расчётов мы остановились на аппроксимации с шестью коэффициентами (в разложении f входят степени λ не выше первой).

Получены следующие величины: $\langle \delta P/P \rangle = .00005$, $\sigma = .0021$. На рис. 3а показано распределение по величине $\delta P/P$. Здесь уместно сравнить наш метод с методом работы [2]. Для данного магнита были проделаны расчёты по методу работы [2] для решетки с числом узлов $3 \cdot 3 \cdot 3 \cdot 3 \cdot 4$ (соответственно по параметрам $x_0, y_0, x'_0, y'_0, (P)^{-1}$). Точность определения импульса при таком разбиении оценивалась на файле событий распадов $K \rightarrow \pi \mu \mu$. При этом были получены значения $\langle \delta P/P \rangle = .0037$, $\sigma = .002$, т.е. этот метод даёт как бы смещенную оценку импульса для магнита [6] для такой решётки. Иными словами, неточность аппроксимирующей формулы, найденной по методу работы [2] и применённой к произвольному файлу событий, порождается двумя причинами: неточностью самой аппроксимации, т.е. конечностью числа членов в аппроксимирующей формуле, и тем фактом, что коэффициенты аппроксимирующей формулы находятся на статистическом наборе данных, задаваемом пятимерной решёткой, а не тем, который будет в реальности.

При более мелком разбиении $5 \cdot 5 \cdot 5 \cdot 5 \cdot 10$ мы получили соответственно $\langle \delta P/P \rangle = .0036$ и $\sigma = .0031$. Худшее значение σ в последнем случае объясняется, по нашему мнению, тем фактом, что число членов становится слишком большим и начинают сказываться ошибки округления, хотя все расчёты проводились с двойной точностью.

Результаты расчётов показывают, что в предложенном методе величина $\langle \delta P/P \rangle$ равна нулю, поскольку аппроксимирующая формула находится на наборе данных, имеющем такое же статистическое поведение, что и события, к которым применяется формула.

Понятно, что надо брать такой набор данных, который близок к реальному (в смысле статистического поведения).

Для решетки с числом разбиений $3 \cdot 3 \cdot 3 \cdot 3 \cdot 4$ оказалось возможным из 324 коэффициентов оставить 85 без потери точности ($\langle \delta P/P \rangle = .0036$, $\sigma = .002$). Для нашего метода расчёт импульса требует приблизительно 20 операций. Для вычисления

импульса по методу [2] при 95 коэффициентах требуется приблизительно 1500 операций.

На рис.26 показана геометрия расположения детекторов установки "Гилерон" [8]. Объем измеренного магнитного поля $74 \cdot 144 \cdot 444 \text{ см}^3$. Интеграл поля при тех же $x, y = 1.7 \text{ Тл} \cdot \text{м}$. Импульс вторичной частицы разигрывался равномерно в интервале от 5 до 10 ГэВ/с. Заряд частицы был положительным. Всё остальное делалось так же, как и в предыдущем случае. Отыскивалась аппроксимация для двух различных вариантов:

1. Для всего интервала изменения переменных x_0, y_0, x'_0, y'_0 , измеряемых установкой при интервале изменения импульса от 5 до 10 ГэВ/с.

Получено $\langle \delta P/P \rangle = .00022$ и $\sigma = .0073$. Число коэффициентов 18. Распределение $\delta P/P$ для этого случая показано на рис.36.

2. Вся область изменения переменных x_0, y_0, x'_0, y'_0 разбивалась на три части:

2.1. $x'_0 > 0, y'_0 < 0$, любые x_0, y_0 ,

2.2. $x'_0 < 0, y'_0 < 0$, любые x_0, y_0 ,

2.3. $y'_0 > 0$, любые x'_0, x_0, y_0 .

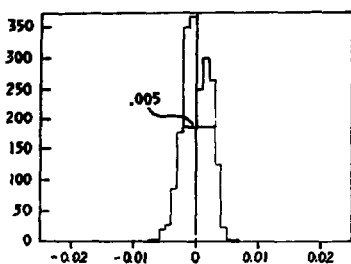
Для разбиения 2.1 получены следующие значения: $\langle \delta P/P \rangle = -.00029$, $\sigma = .0043$ при 19 коэффициентах.

Соответственно для разбиения 2.2 $\langle \delta P/P \rangle = .00011$, $\sigma = .0046$ при 20 коэффициентах.

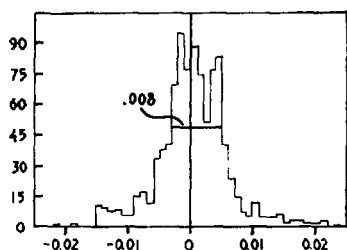
Наконец, для разбиения 2.3 значения таковы: $\langle \delta P/P \rangle = -.00003$, $\sigma = .0022$ при числе коэффициентов 21. Видно, что во всех случаях величина $\langle \delta P/P \rangle$ близка к нулю. Средние по всем разбиениям $\langle \delta P/P \rangle = -.000006$, $\sigma = .0035$. Общее для всех трёх разбиений распределение по $\delta P/P$ показано на рис.3в. Среднее число операций—приблизительно 70.

К сожалению, мы не можем привести соответствующих цифр при оценке импульса по методу [2] для данного магнита. Однако во всех известных нам работах, использующих этот метод [2-4], число коэффициентов меняется от 200 до нескольких тысяч. Количество операций соответственно—не менее 3000.

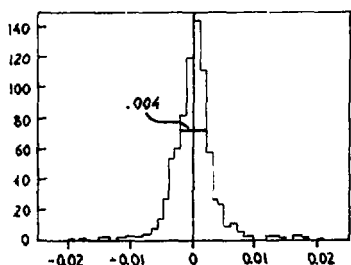
На каждом из рисунков 3а-3в даны также оценки точностей импульсов по методу "полная ширина на полувысоте" (величина σ').



a/ $\langle \delta P/P \rangle = .00005$
 $\sigma = .0021$
 $\sigma' = .0021$



б/ $\langle \delta P/P \rangle = .00022$
 $\sigma = .0073$
 $\sigma' = .0034$



в/ $\langle \delta P/P \rangle = .000006$
 $\sigma = .0036$
 $\sigma' = .0017$

Рис.3. Распределение по величине $\delta P/P$ для различных случаев (см. текст). Величина σ' — среднеквадратичное отклонение, полученное по методу "полная ширина на полувысоте".

4. Приложения метода в других случаях

На рис. 4а и 4б приведена конфигурация детекторов, при которых также может возникнуть задача определения импульса частицы. В первом случае измеряется отрезок прямой до магнита и точка на траектории частицы за магнитом. Отрезок прямой и точка измерены в областях, где магнитное поле равно нулю. На рис. 4а y_R обозначает измеренную после магнита координату, а y_p - координату, которую имела бы траектория частицы в месте расположения детектора, если бы поля не было. Аппроксимирующая формула отыскивалась в виде

$$y_R - y_p = \lambda \cdot f(x_0, y_0, x_0', y_0', \lambda). \quad (5)$$

При расчетах использовался магнит [6]. С шестью коэффициентами получены значения $\langle \delta P/P \rangle = .00005$, $\sigma = .0021$.

Во втором случае до магнита измеряется отрезок прямой в области, далёкой от магнита, и координата на траектории частицы в области магнитного поля. Интеграл поля до точки расположения детектора TD2 равен 0.746, т.е. приблизительно 75% от полного интеграла поля. Аппроксимирующая формула была такой же (формула (5)). При тех же шести коэффициентах получены $\langle \delta P/P \rangle = .00001$, $\sigma = .003$.

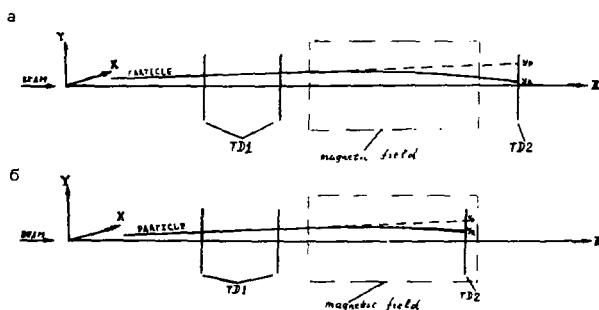


Рис.4. Другие случаи расположения детекторов (см текст).

5. Заключение

Когда авторы работы [2] предложили свой метод, они оценивали достоинства своего метода в терминах комбинационного критерия памяти-компьютерное время. Они утверждали, что их метод дает выигрыш в пять порядков величины в сравнении с другим методом решения дифференциальных уравнений. Если мы используем тот же самый критерий, то наш метод в сравнении с методом [2] дает выигрыш в три порядка, по крайней мере, для рассмотренных спектрометров.

Снимаем приятным долгом выразить благодарность Аншину П. и другим чл. за многочисленные консультации и обсуждения.

Литература

1. J. M. G. Barr and J. G. Borge. *Nucl. Instr. and Methods*, 160 (1979), 45.
2. J. Desnoyelle, M. Martin, H. Wlad. *Nucl. Instr. and Methods*, 63 (1969), 122.
3. Амагуни Ц.А. и др. ИФВР, 82-142, Серпухов, 1982.
4. В.В.Виноградов и др. Сообщение ОИЯИ Р1-87-090, Дубна, 1985.
5. З.Н.Еслотов и др. ФФ, 45 (1987), 1552.
6. А.П.Дригорьев и др. Материалы VIII Рабочего совещания по нейтринному детектору ИФВР-ОИЯИ. Д1,2,17-88-90, Дубна, 1988.
7. Статистические методы в экспериментальной физике. Москва, Атомиздат, 1976.
8. B. E. Bitsadze et al. *Nucl. Phys.*, B250 (1985), 497.

Рукопись поступила в издательский отдел
25 июня 1990 года.